

۱- مقدمه

قابل توجهی در عملکرد ضد خوردگی رنگدانه فسفات روی اصلاح شده با بنزوتریازول را نشان دادند. در مطالعه دیگری کمپلکس‌های بین استات روی و بنزوتریازول خواص بازدارندگی بالایی در محلول کلرید بر روی فولاد نرم نشان دادند. مکانیسم حفاظتی این رنگدانه‌ها عمدتاً بر اساس کلیت شدن بین قسمت‌های آلی و معدنی رنگدانه است. بنزوتریازول سه هترواتم نیتروژن در ساختارش دارد. الکترون‌های جفت تنهای هترواتم‌ها می‌توانند با اوربیتال‌های خالی کاتیون‌های Fe^{2+} و Zn^{2+} به اشتراک گذاشته شوند. به این ترتیب می‌توان شلات‌های آلی/معدنی را روی سطح فلز تشکیل داد. کمپلکس‌های بنزوتریازول- Fe^{2+} و بنزوتریازول- Zn^{2+} را می‌توان در نقاط آندی و/یا کاتدی فلز ایجاد کرد. فیلم رسوب شده می‌تواند دسترسی عوامل خورنده به سطح فلز را مسدود کرده و مقاومت آن در برابر خوردگی را افزایش دهد. با توجه به اندازه بزرگ تر و حلالت کمتر مولکول‌های آلی نسبت به ممانعت کننده‌های غیر آلی، مانند Zn^{2+} و یون‌های فسفات، فیلم‌های متراکم تر و ضخیم‌تر می‌تواند بر روی سطح فلز تشکیل شوند. گزارش‌های زیادی در مورد اثرات هم‌افزایی بین ممانعت کننده‌های آلی و کاتیون‌های فلزی وجود دارد [۱۴-۱۵].

از آنجاکه اکثر ممانعت کننده‌های آلی از نظر زیست‌محیطی ایمن نیستند، اخیراً توجه محققان به استفاده از بازدارنده‌های خوردگی سبز به دست آمده از محصولات طبیعی مانند برگ یا دانه و منابع تجدید پذیر معطوف شده است [۱۶-۲۰].

طبق مقالات اکثر ممانعت کننده‌های آلی مصنوعی ترکیبات مؤثری در محلول‌های اسیدی هستند و در محیط‌های خنثی اثرات بازدارندگی قابل قبولی نشان نمی‌دهند [۲۱-۲۲]. با این حال، این ترکیبات در حضور ترکیبات معدنی مانند کاتیون‌های فلزی بازده بازدارندگی خوبی را نشان می‌دهند. صالحی و همکاران کمپلکس بازدارنده مؤثر خوردگی بر اساس استات روی/گزنه^۳ را سنتر و مشخصه‌یابی کرده و نشان دادند که ترکیبات آلی موجود در عصاره گزنه مانند سروتونین، هیستامین و کوئرستین، می‌توانند شلات‌های قوی با کاتیون‌های روی تشکیل دهنند [۲۳-۲۴].

گل‌گاوزبان^۴ یک گیاه گل‌دار چندساله از گونه‌های بوراجیناسیایی^۵ است که در طب سنتی ایرانی جایگاه بسیار ویژه‌ای دارد. این گیاه بومی روسیه، قفقاز و شمال ایران است [۲۵-۲۶]. ویژگی‌های ضد درد، ضدالتهابی و شفابخش گل‌گاوزبان برای

برای چندین دهه از پوشش‌های آلی برای محافظت از سازه‌های فلزی در برابر خوردگی استفاده می‌شود. خواص سدی ذاتی پوشش آلی، ناشی از طبیعت آب‌گریز آن و/یا چگالی پیوند عرضی بالا در برابر انتشار آب، اکسیژن و یون‌ها به سطح پوشش/فلز است که شناخته شده ترین مکانیسم حفاظتی است [۱-۲]. عملکرد حفاظت در برابر خوردگی یک پوشش آلی استگی به استحکام چسبندگی فصل مشترک پوشش/فلز، نوع و میزان مواد پرکننده^۱ و رنگدانه‌ها و شرایط محیط خورنده دارد [۳-۵]. سال‌هاست که کرومات روی که به عنوان اولین نسل رنگدانه بازدارنده شناخته می‌شود، در پوشش‌های آلی برای محافظت از فلزات در برابر خوردگی استفاده می‌شود. این رنگدانه انحلال کمی در آب دارد و به این ترتیب گونه‌های بازدارنده‌ای را آزاد می‌کند که می‌توانند در نقاط فعل جذب شده و از طریق مکانیسم تشکیل فیلم از خوردگی محافظت کنند [۶-۸]. با این حال، امروزه استفاده از کرومات روی در پوشش‌های محافظت به دلیل سمتی و مشکلات زیست‌محیطی به شدت کاهش یافته است؛ بنابراین، مطالعات اخیر بر یافتن جایگزین‌های ایمن برای محیط‌زیست و میزان سمتی کمتر متمرکز شده است. در دسته نسل اول رنگدانه‌های بازدارنده، فسفات روی وجود دارد که به عنوان جایگزینی با سمتی کمتر برای کرومات روی استفاده می‌شود [۹-۱۱]. با این حال، نشان داده شده است که اثر ممانعت خوردگی فسفات روی به دلیل حلالت کم این رنگدانه در محلول نمکی، بسیار کمتر از کرومات روی است؛ بنابراین، محققان سعی کرده‌اند نسل دوم و سوم فسفات روی را از طریق انجام اصلاحات مختلف فیزیکی و/یا شیمیایی در رنگدانه‌های معمولی توسعه دهند. در این راستا رنگدانه‌های بازدارنده بر پایه فسفات روی آلومینیوم، تری پلی فسفات روی، فسفات روی پتاسیم، پلی فسفات روی آلومینیوم، فسفات روی مولیبدن و پلی فسفات روی تولید شده است [۱۱-۱۲].

بر اساس مقالات، خواص بازدارندگی فعل فسفات روی با انجام این تغییرات به طور قابل توجهی افزایش یافته است. محققان هنوز روی سنتر نسل جدید رنگدانه‌های بازدارنده کار می‌کنند. در سال‌های اخیر توجه محققان به توسعه نسل چهارم رنگدانه‌های بازدارنده معطوف شده است. میانو و همکاران^۶ [۱۳] بهبود

۲- مواد و روش تحقیق

۱-۱- مواد اولیه

فولاد نرم با ترکیب عنصری 0.34 wt.\% Si , 0.32 wt.\% Mn , 0.05 wt.\% P , 0.19 wt.\% C , 0.04 wt.\% Al , 0.05 wt.\% S و $0.99/0.1\text{ wt.\% Fe}$ و ابعاد $35\text{ mm} \times 15\text{ mm} \times 2\text{ mm}$ از شرکت فولاد مبارکه ایران تهیه شد. گلبرگ‌های خشک و پودر شده گل‌گاوزبان از شمال ایران تهیه شدند. استات روی (NaCl) از شرکت مجللی (ایران) خریداری شد. رزین اپوکسی استر (EE-430CS)، با محتوای جامد٪ 60 از شرکت رزیتان (ایران) تهیه شد. کبالت٪ 10 ،٪ 1 محتوای فلزی)، کلسیم٪ 40 ،٪ 5 محتوای فلزی) و سرب٪ 73 ٪ 32 ٪ 0 محتوای فلزی) از یک شرکت تولیدکننده رنگ ایرانی تهیه شد.

۲-۲- روش سنتز رنگدانه‌های هیبریدی

رنگدانه هیبریدی از طریق شلاته شدن بین مولکول‌های آلی عصاره گل‌گاوزبان (EAE) و استات روی (ZnA) به دست آمد. به این منظور، 50 گرم پودر گل‌گاوزبان به 1000 ml آب دیونیزه اضافه شد و مخلوط به مدت 3 ساعت در دمای 70°C هم زده و در نهایت فیلتر شد. محلول مایع رویی حاصل از فیلتراسیون تا 60°C و به مدت 24 ساعت حرارت داده شد. پودر عصاره خالص گل‌گاوزبان (EAE) در این مرحله به دست آمد. سپس، g 0.48 پودر عصاره و g 50 استات روی به 100 ml آب مقطر اضافه شده و به مدت 24 ساعت در دمای 60°C هم زده شد. سرانجام، رنگدانه هیبریدی سانتریفیوژ شد و سه بار با آب مقطر شسته شد تا مواد واکنش نداده از بین بروند. محصول نهایی در دمای 60°C به مدت 3 ساعت خشک شد. شکل (۱) برخی از کمپلکس‌های احتمالی بین عصاره و روی استات را نشان می‌دهد.

۳-۲- ساخت پوشش اپوکسی استر حاوی رنگدانه هیبریدی

g رنگدانه هیبریدی از طریق اختلاط مکانیکی (2000 rpm) به مدت 1 ساعت در g 50 رزین اپوکسی استر پراکنده شد. سپس مخلوط با دور 1000 rpm به مدت 30 دقیقه همگن شد تا توزیع ذرات یکنواخت در محدوده μm $10-15$ به دست آید.

سرماخوردگی در کنار خواص آرامبخش و ضد اضطراب در چندین مطالعه بررسی شده است. این گیاه منع غنی از اسیدهای چرب، ترکیبات فنولیک^۹، آلکالوئیدهای پیرولیزیدین^۷، تانن‌ها^۸، آنتوسیانیدین‌ها^۹ و فلاونوئیدها^{۱۰} است. ترکیبات آلی فعال مانند اسید آسکوربیک^{۱۱} (ویتامین C)، رترونسین^{۱۲}، لاتکتیک اسید^{۱۳}، رزمارینیک اسید^{۱۴}، نیکوتینیک اسید^{۱۵} و کاروتون^{۱۶} در بدن گیاه یافت می‌شود [۲۷-۲۸]. خواص بازدارنده‌گی عصاره گل‌گاوزبان در محلول آب‌نمک طی مقاله اخیر نتایج امیدوارکننده‌ای نشان می‌دهد [۲۹]. نشان داده شده است که این گیاه با آزاد کردن گونه‌های آلی خود بر روی سطح فلز محافظت خوردگی قابل قبولی در محیط‌های خشی ایجاد می‌کند.

در این مطالعه ویژگی‌های سدی و خوردگی فعال رنگدانه هیبریدی سبز آلی/معدنی منحصر به فرد بر اساس عصاره گلبرگ گیاه گل‌گاوزبان و استات روی بازدارنده گل‌گاوزبان و استات موردمطالعه قرار گرفته است. عصاره برگ گل‌گاوزبان و استات روی ممانعت کننده‌های بسیار محلولی در آب هستند؛ بنابراین، افزودن مستقیم این بازدارنده‌ها به پوشش اپوکسی استر ممکن است منجر به برخی مشکلات نامطلوب شود. به عنوان مثال، حلایت زیاد بازدارنده‌ها در آب منجر به ممانعت خوردگی کوتاه‌مدت، تاول پوشش و لایلهای شدن می‌شود. علاوه بر این، گنجاندن مستقیم ممانعت کننده‌ها باعث اختلال در فرآیند پخت پوشش می‌شود و درنتیجه منجر به کاهش چگالی اتصال عرضی پوشش پلیمری می‌شود. مولکول‌های بازدارنده می‌توانند با گروه‌های عاملی پوشش تعامل داشته باشند و به این ترتیب آنها را بی‌حرکت کرده و دسترسی بازدارنده به سطح فلز را محدود کنند. به این دلیل و برای جلوگیری از مشکلات گنجاندن مستقیم بازدارنده‌ها در زمینه پوشش، ممانعت کننده‌ها به منظور کاهش حلایت بالا به هم زوج شده و شلاته شدند. بازدارنده‌گی خوردگی و عملکرد سدی پوشش‌های اپوکسی استر بدون و با رنگدانه هیبریدی در حضور و عدم حضور خراش مصنوعی با آزمایش EIS مورد آزمایش قرار گرفت. مورفلوژی و ترکیب رنگدانه هیبریدی با استفاده از آنالیزهای SEM، FTIR، UV-Vis و XPS موردنبررسی قرار گرفت. عملکرد خودترمیمی پوشش حاوی رنگدانه در حضور خراش توسط آنالیز EIS ارزیابی شد.

مرئی- فرابنفش (UV-Vis) مورد مطالعه قرار گرفته است. ترکیب شیمیایی دقیق رنگدانه نیز توسط آزمون XPS Specs EA 10 (Plus, with AlK α , 10 $^{-9}$ mbar pressure) ارزیابی شد.

اندازه‌گیری‌های الکتروشیمیایی با استفاده از آزمون EIS انجام شد. آزمایش توسط یک Autolab Potentiostat/Galvanostat محلول‌های 3/5 wt.% NaCl با و بدون عصاره رنگدانه انجام شد. برای تهیه رنگدانه، 1 g رنگدانه هیبریدی به 1000 ml آب دیونیزه اضافه شد، به مدت 24 ساعت هم زده شد و سپس فیلتر شد. محلول رویی برای اندازه‌گیری‌های الکتروشیمیایی استفاده شد. آزمایش EIS توسط یک پیل سه الکترودی استاندارد شامل الکترود مرجع (الکترود کالومل اشباع شده)، الکترود کمکی (پلاتین) و الکترود کار (نمونه‌های فولادی با مساحت 1 cm 2) انجام شد. اندازه‌گیری‌ها در محدوده فرکانسی 100-10000 Hz و با اعمال ولتاژ سینوسی با دامنه 10 mV ± انجام شد. اندازه‌گیری EIS روی پوشش‌ها در حضور و غیاب یک خراش مصنوعی (به طول 20 mm در محلول 3/5 wt.% NaCl) انجام شد.

تجزیه و تحلیل داده‌های امپدانس توسط نرمافزار (نسخه ۳/۱ Zview) انجام شد.

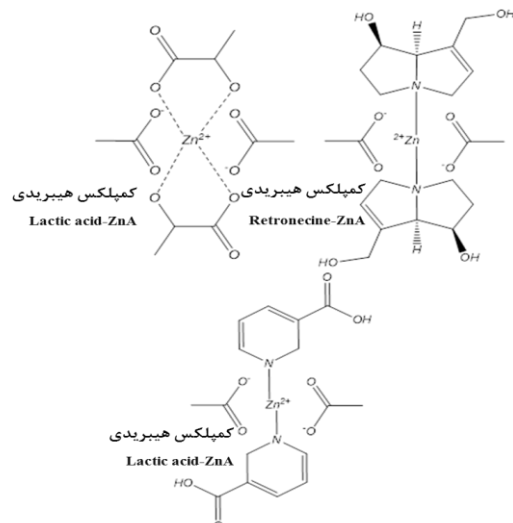
۳- نتایج و بحث

۳-۱- ریزساختار رنگدانه هیبریدی

به منظور یافتن شکل و اجزای ذرات رنگدانه سنتز شده، از آزمون SEM استفاده شد. همان‌طور که در شکل (۲) مشخص است، ذرات عصاره تقریباً به شکل کلوخه بالبهای تیز هستند. علاوه بر این، برخی از ذرات صفحه‌ای شکل یا پوسته‌پوسته‌ای را می‌توان مشاهده کرد، درحالی که ZnA دارای ساختار نواری شکل است؛ بنابراین، ساختار ناشی از کمپلکس این دو جزء ترکیبی از آن‌ها است که توسط میکروگراف‌های SEM ثابت شده است. به نظر می‌رسد که ZnA پوسته‌ها و صفحات موجود در ساختار عصاره را تغییر داده است. به عبارت دیگر، استات روی نقش فعل کننده سطح را در فرایند ساخت رنگدانه ایفا می‌کند و مورفولوژی و اندازه ذرات عصاره گل‌گاویزبان را تغییر می‌دهد، به گونه‌ای که ذرات متراکم کنار هم تشکیل می‌شوند.

ویسکوزیته پوشش اپوکسی استر با افزودن مقدار مناسب مخلوط بوتیل استات و زایلین^{۱۷} کاهش یافت. سپس مواد افزودنی شامل کبالت (۰/۲ wt.%)، سرب (۰/۵ wt.%) و کلسیم (۱/۲ wt.%) به رزین اضافه شد. کبالت نوعی خشک کن اولیه است و یک کاتالیزور با اکسیداسیون خودکار است. کلسیم یک خشک کن ثانویه است که در مراحل اتصال عرضی خشک شدن پوشش اپوکسی استر فعال است. سرب نوعی خشک کن کمکی است که فعالیت خشک کن اولیه را تغییر می‌دهد.

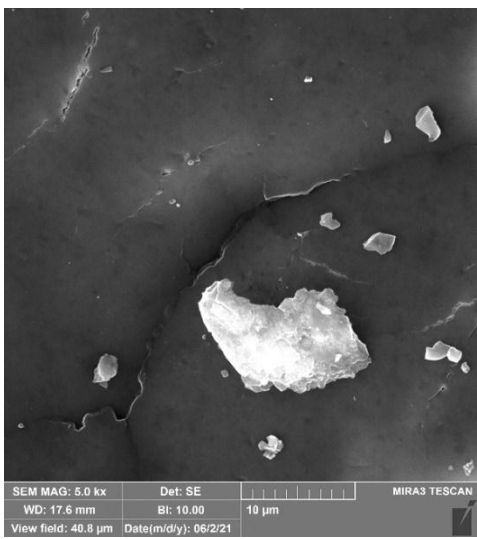
ورق‌های فولادی توسط کاغذهای SiC با درجه ۴۰۰، ۲۰۰، ۸۰۰ و ۱۲۰۰ ساییده شده و با استون چربی زدایی شدند. سپس، ورق‌های فولادی با پوشش اپوکسی در غیاب و حضور رنگدانه با استفاده از یک اعمال دهنده فیلم پوشش دهی شدند. نمونه‌های پوشش دهی شده به مدت ۱ هفته در دمای اتاق باقی ماندند و سپس به مدت ۳ ساعت در دمای ۶۰ °C تحت پخت قرار گرفتند. ضخامت فیلم خشک شده ۵ ± ۰.۶ μm بود.



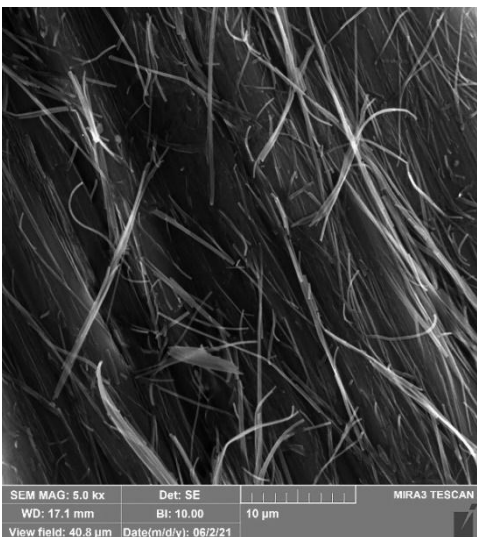
شکل (۱): طرح‌واره کمپلکس‌های احتمالی مختلف بین استات روی و بازدارنده‌های موجود در عصاره گل‌گاویزبان.

۴- مشخصه‌یابی سطحی

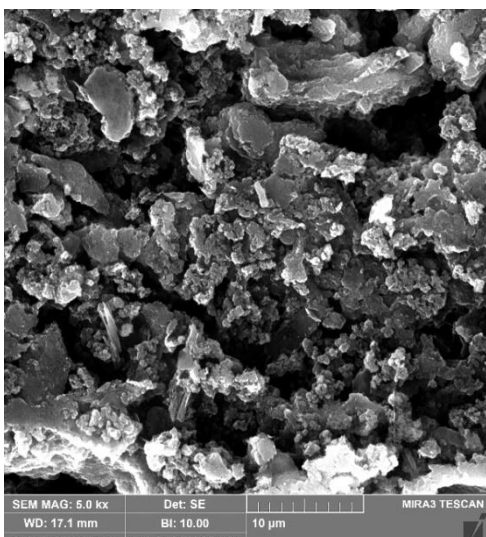
با استفاده از مدل میکروسکوپ الکترونی روبشی مدل (MIRA3 TESCAN)، مورفولوژی رنگدانه هیبریدی موربدبرسی قرار گرفت. در این تجزیه و تحلیل انرژی پرتو شتاب‌دهنده 15 kV بود. تشکیل کمپلکس بین ترکیبات آلی عصاره و روی استات توسط طیف‌سنجدی مادون‌قرمز تبدیل فوریه (FT-IR) و طیف‌سنجدی



(الف)



(ب)



(ج)

شکل (۲): تصاویر SEM گرفته شده از ذرات پودر (الف) عصاره گل گاوزبان، (ب) استات روی و (ج) رنگدانه هیریدی سنتر شده.

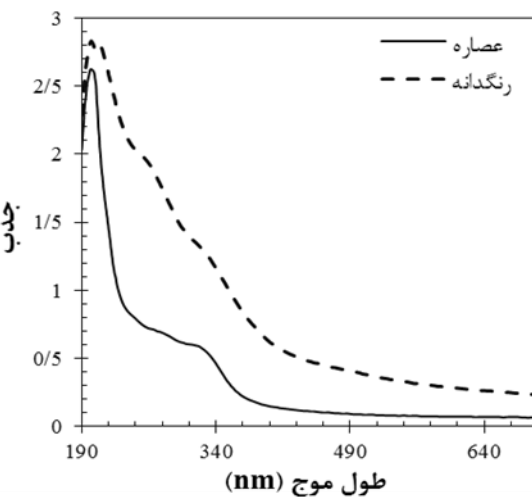
۲-۳- آزمون UV-Vis

این آزمون به منظور توصیف رفتار جذب گروههای عاملی در طول موج‌های مختلف انجام شد. بدین منظور رنگدانه هیریدی در محلول ۳/۵ wt.% NaCl EAE-ZnA UV-Vis محلول نمکی حاوی رنگدانه و بدون رنگدانه را نشان می‌دهد. طیف عصاره دو قله متمایز را نشان می‌دهد، یک قله جذب شدید در محدوده طول موج ۱۹۰-۲۳۰ nm که به جذب $\pi^* \rightarrow \pi$ حلقه‌های معطر و دیگری در محدوده ۳۹۰ nm به جذب پیوند $\pi^* \rightarrow n$ گروههای عاملی، مانند C=O اختصاص داده شده است. طیف UV رنگدانه هیریدی دو شانه و یک قله تیز را نشان می‌دهد که به دو منطقه تقسیم شده است. از نتایج مشخص است که رنگدانه شدت جذب بالاتری را در تمام طول موج‌ها نشان می‌دهد و برهمن کنش‌های قوی بین ترکیبات آلی و معدنی را به تصویر می‌کشد [۳۰]. در محدوده طول موج ۱۹۰-۲۵۰ nm، قله جذب مربوط به انتقال الکترونیکی پیوند $\pi^* \rightarrow \pi$ دارای دو شانه است. شانه اول، مشاهده شده در محدوده طول موج ۱۹۰-۲۱۰ nm، به جذب $\pi^* \rightarrow \pi$ عصاره نسبت داده می‌شود و شانه دوم در ۲۱۰-۲۲۰ nm مشاهده می‌شود که مربوط به جذب پیوند $\pi^* \rightarrow \pi$ حاصل از شلاته شدن ترکیبات آلی عصاره با استات روی است [۳۱]. همچنین، یک قله جذب جدید در محدوده طول موج ۲۹۰-۳۹۰ nm مشاهده می‌شود که مربوط به جذب پیوند $\pi^* \rightarrow \pi$ گروههای عاملی موجود در ساختار عصاره است. این نتایج به وضوح شلاته شدن شیمیایی مولکول‌های EAE با ZnA رنگدانه را نشان می‌دهند.

طیف سنجی فتوالکترون اشعه ایکس برای شناسایی و مشخصه‌یابی پیوندهای شیمیایی و ساختار رنگدانه انجام شد. طیف کلی XPS در شکل (۵) آورده شده است. طیف کلی رنگدانه نشان‌دهنده چهار قله اصلی منسوب به C 1s در انرژی ۵۳۱ eV و O 1s در ۵۳۱/۲ eV، N 1s در ۴۰۱ eV، Zn 2p3/2 در ۲۸۵ eV و Zn 2p1/۲ در ۲۸۴ eV است. مشاهدات وجود چهار عنصر را که عناصر اصلی در رنگدانه هیبریدی فرض می‌شوند و حضور هر دو قسمت آلی و معدنی در رنگدانه را تأیید می‌کند. برای مشخص کردن انواع پیوند بین عناصر، طیف تفکیک شده با تفکیک پذیری بالا از هر عنصر در شکل (۶) ارائه شده است. از نتایج، منحنی C 1s به چهار قله در انرژی‌های پیوندی ۲۸۴/۸ eV، ۲۸۳/۸ eV، ۲۸۶/۹ eV و ۲۸۶/۹۸ eV، مربوط به C=O، C-O، C=C و C-N جدای از تفکیک سیگال N 1s مربوط به پیوندهای مشخصه -N= و -C=N مشاهده شد [۳۶-۳۷]. طیف Zn 2p3/2 با وضوح بالا دو قله اصلی را با انرژی پیوندی ۱۰۲۱/۹ eV و ۱۰۲۳/۳ eV نشان می‌دهد که به ترتیب مربوط به پیوندهای Zn-N و Zn-O وجود دارد. حضور پیوندهای -NH-C=O و -NH-C-N= در طیف N 1s از ترکیبات آلی ساختار عصاره در رنگدانه را تأیید می‌کند و وجود N-Zn و همچنین Zn-N در طیف Zn 2p3/2 پیوندهای شیمیایی بین مولکول‌های آلی عصاره و جز معدنی استات روى را به وضوح نشان می‌دهد. پیوند O-Zn در طیف O 1s و پیوند Zn-O در طیف Zn 2p3/2 شواهدی برای پیوندهای ایجادشده بین گروه‌های عاملی حاوی اکسیژن عصاره (مانند COOH در اسید لاتکیک) و کاتیون‌های Zn²⁺ هستند. کاتیون‌های Zn²⁺ دارای اوربیتال‌های 3d خالی در پیکربندی الکترون خود هستند و گروه‌های عاملی حاوی اکسیژن دارای جفت الکترون آزاد هستند که می‌توانند با اوربیتال‌های خالی به اشتراک گذاشته شوند و منجر به تشکیل کمپلکس شود [۳۸-۳۷]. علاوه بر این، استات روى همچنین دارای گروه‌های عاملی حاوی اکسیژن است و روی موجود در استات روى نیز با این گروه‌ها اوربیتال دارد؛ بنابراین تعداد

۳-۳- آزمون FTIR

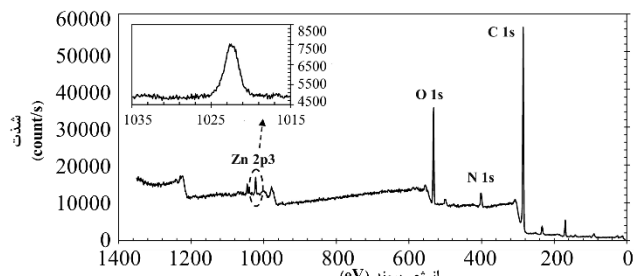
آنالیز FTIR بر روی رنگدانه هیبریدی انجام شد تا شلات‌های احتمالی بین استات روى و مولکول‌های آلی عصاره گل گاوزبان مشخص شود. با توجه به شکل (۴)، دو قله مشخصه در ۲۱۰۰ cm⁻¹ و ۱۵۲۰ cm⁻¹ در طیف استات روى وجود دارد که به ترتیب به پیوندهای C=O و C-H(CH₃) نسبت داده می‌شوند. در طیف عصاره، چهار قله مشاهده می‌شود که مربوط به پیوندهای C=O در ۱۶۰۴ cm⁻¹، پیوند O-C=O در ۱۴۱۰ cm⁻¹، پیوند C-O-C در ۱۰۸۹ cm⁻¹ و NH₂ در ۳۴۲۲ cm⁻¹ است. قله جذب جدید در طیف رنگدانه هیبریدی در ۱۲۵۸ cm⁻¹ به پیوند N-Zn اختصاص داده می‌شود [۳۳-۳۲]. وجود عصاره و استات روى در ترکیب رنگدانه هیبریدی را می‌توان از نتایج آزمایش FT-IR تأیید کرد، اما نمی‌توان در مورد ترکیب دقیق رنگدانه دقیقاً چیزی گفت. با این حال، نتایج آزمون FT-IR فقط امکان پیوند شیمیایی بین عصاره و استات روى را نشان می‌دهد. درواقع، برای نتیجه‌گیری مطمئن‌تر در مورد ترکیب بین عصاره و استات روى، آزمون XPS لازم است.



شکل (۳): طیف UV گرفته شده از محلول نمکی حاوی عصاره و رنگدانه هیبریدی.

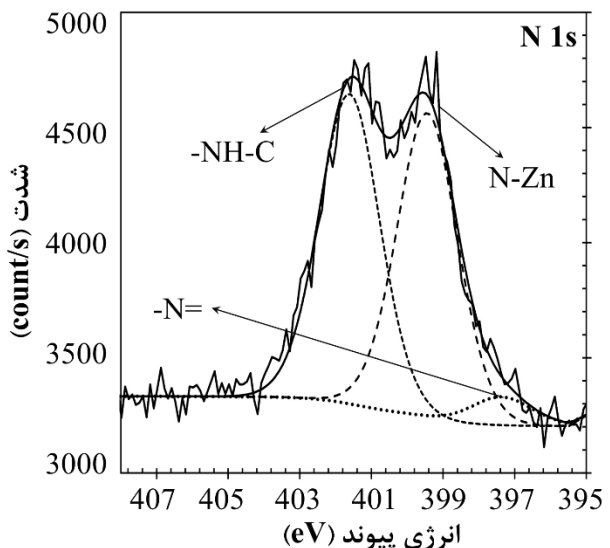
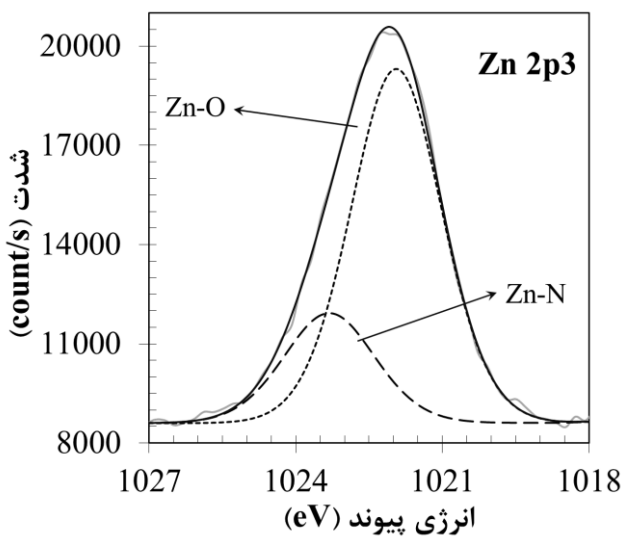
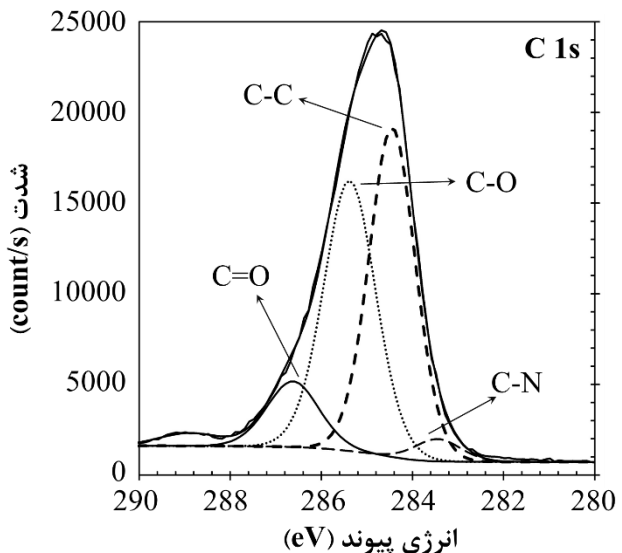
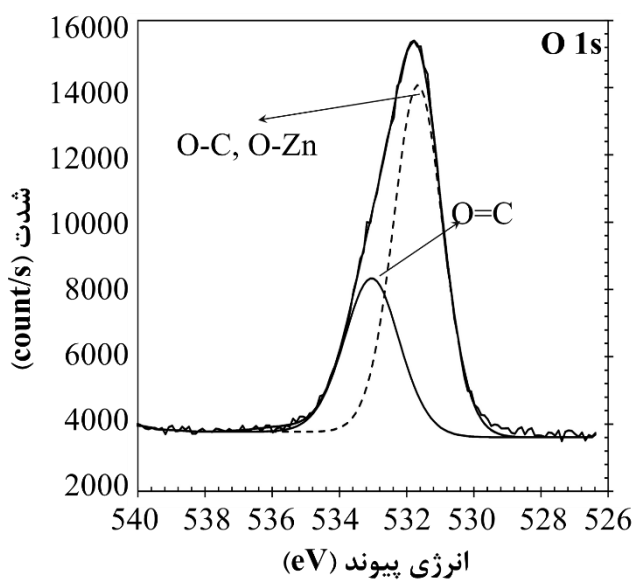
شکل (۴): طیف‌های FTIR گرفته شده از پودرهای عصاره گیاهی، استات روى و رنگدانه هیبریدی سنتز شده.

۴-۳- آزمون XPS

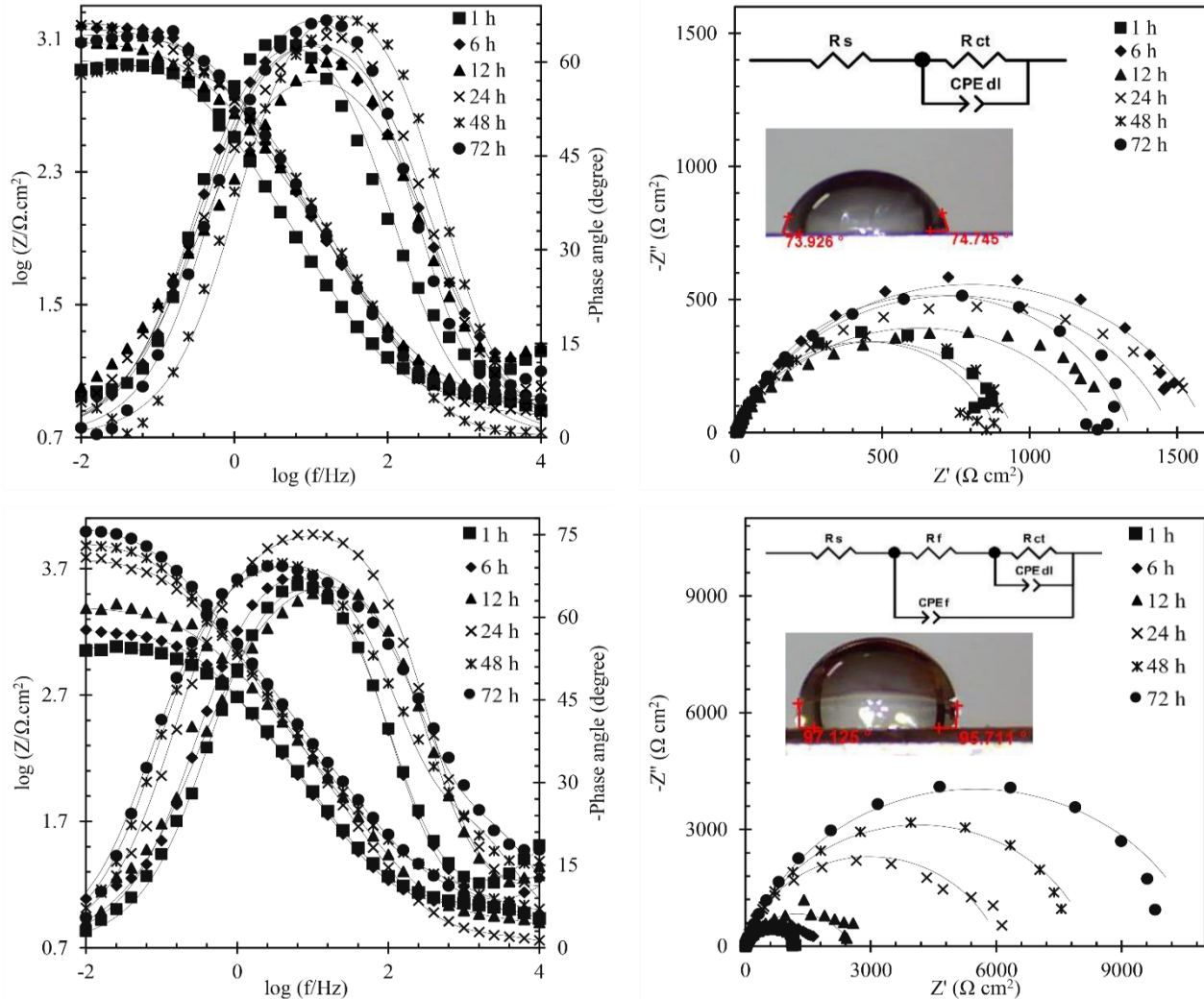


شکل (۵): طیف کلی XPS رنگدانه هیبریدی

پیوندهای Zn-O در کپلکس بسیار بیشتر از پیوندهای Zn-N است و شدت بیشتر پیک O 1s در شکل (۶) این فرضیه را تأیید می‌کند.



شکل (۶): طیف‌های XPS با تفکیک پذیری بالای رنگدانه.



شکل (۷): منحنی‌های باد و نایکوئیست گرفته شده از سطوح فولادی غوطه‌ور در محلول آب نمک (الف) غیاب و (ب) حضور رنگدانه هیبریدی.

جدول (۱): پارامترهای امپدانس الکتروشیمیایی استخراج شده از نمونه‌های فولادی غوطه‌ور در محلول $3/5 \text{ wt.\% NaCl}$ در حضور و عدم حضور رنگدانه هیبریدی برای زمان‌های مختلف. مقادیر میانگین سه تکرار هستند و (\pm) با انحرافات استاندارد مطابقت دارد.

نمونه	زمان غوطه‌وری (ساعت)	R_{ct} ($\Omega \text{ cm}^2$)	CPE _{dl}		R_c ($\Omega \text{ cm}^2$)	CPE _c		η (%)
			Y_0 ($\mu\Omega^{-1}\text{cm}^2\text{s}^n$)	n		Y_0 ($\mu\Omega^{-1}\text{cm}^2\text{s}^n$)	n	
رنگدانه	۱	$940 \pm 2\%$	$630 \pm 5\%$	$0/73 \pm 2\%$	-	-	-	-
	۶	$1601 \pm 2\%$	$387 \pm 7\%$	$0/78 \pm 5\%$	-	-	-	-
	۱۲	$1208 \pm 5\%$	$487 \pm 11\%$	$0/79 \pm 8\%$	-	-	-	-
	۲۴	$1500 \pm 9\%$	$312 \pm 13\%$	$0/79 \pm 7\%$	-	-	-	-
	۴۸	$901 \pm 7\%$	$232 \pm 8\%$	$0/82 \pm 9\%$	-	-	-	-
	۷۲	$1312 \pm 3\%$	$289 \pm 7\%$	$0/84 \pm 6\%$	-	-	-	-
حاوی رنگدانه	۱	$1712 \pm 5\%$	$295 \pm 5\%$	$0/81 \pm 1\%$	$13 \pm 2\%$	$72 \pm 8\%$	$0/58 \pm 5\%$	$40/0$
	۶	$1989 \pm 8\%$	$378 \pm 7\%$	$0/82 \pm 2\%$	$58 \pm 8\%$	$130 \pm 5\%$	$0/51 \pm 4\%$	$21/2$
	۱۲	$2451 \pm 9\%$	$201 \pm 8\%$	$0/84 \pm 5\%$	$9 \pm 5\%$	$198 \pm 6\%$	$0/56 \pm 6\%$	$48/8$
	۲۴	$5874 \pm 6\%$	$178 \pm 10\%$	$0/84 \pm 6\%$	$7 \pm 6\%$	$58 \pm 3\%$	$0/70 \pm 10\%$	$88/9$
	۴۸	$8326 \pm 7\%$	$135 \pm 1\%$	$0/80 \pm 7\%$	$15 \pm 4\%$	$69 \pm 5\%$	$0/82 \pm 7\%$	$89/3$
	۷۲	$11024 \pm 8\%$	$119 \pm 6\%$	$0/89 \pm 8\%$	$12 \pm 7\%$	$59 \pm 7\%$	$0/83 \pm 2\%$	$87/2$

ساعت نشان می‌دهد که محصولات خوردگی تشکیل شده بر روی سطح نمونه خاصیت آب‌گریزی دارد.

۳-۵-۲- مطالعه پوشش خراش دار
نمودارهای نایکوئیست و بُد پوشش‌ها در شکل (۸) ارائه شده است. داده‌های امپدانس توسط یک مدار معادل دو ثابت نشان داده شده در نمودارهای نایکوئیست برآش شدند که در آن R_{ct} , R_c و CPE به ترتیب مقاومت محلول، مقاومت در برابر انتقال بار، مقاومت پوشش و عنصر فاز ثابت هستند. نتایج به دست آمده در جدول (۲) فهرست شده‌اند. با توجه به نمودارها دو ثابت زمانی را می‌توان در نمودارهای بد نمونه بلنک مشاهده کرد که بیشتر به پوشش‌های آلی سازگار است و نشان‌دهنده این است که فرآیندهای خوردگی تحت کنترل نفوذ هستند. در واقع مکانیسم اصلی خوردگی نفوذ محلول به زیرالایه از طریق عیوب پوشش است.

امپیتانس معیاری است که نشان می‌دهد یک سامانه چقدر به جریان اجازه عبور می‌دهد. امپیتانس به عنوان پارامتر متقابل، امپدانس تعریف می‌شود. مشابه نحوه تعریف رسانایی و مقاومت، اکسپونانت نیز میزان همواری سطح را بیان می‌کند. با توجه به نتایج جدول (۲)، مشاهده می‌شود که در نمونه حاوی رنگدانه، مقادیر بالاتری نسبت به نمونه بدون رنگدانه دارد که نشان می‌دهد فیلم تشکیل یافته داخل خراش این نمونه از زبری کمتری برخوردار است. مقادیر کمتر Y_0 در نمونه حاوی رنگدانه نیز نشان از مقاومت بیشتر این نمونه در برابر انتقال جریان خوردگی است. الکتروولیت خورنده می‌تواند از طریق محل خراش در سطح فلز و مسیرهای انتشاری که در زمینه پوشش وجود دارد پخش شود. الکتروولیت رسیده به فصل مشترک پوشش/فلز منجر به شروع واکنش‌های الکتروشیمیایی می‌شود. در نتیجه واکنش‌های کاتدی، pH در فصل مشترک پوشش/فلز افزایش می‌یابد و منجر به از بین رفتن چسبندگی و ایجاد محصولات خوردگی می‌شود. در نمونه بدون رنگدانه مقادیر R_t و Z_{at} به طور قابل توجهی کاهش یافت. این نتایج نشان می‌دهد که الکتروولیت از طریق تخلخل‌های پوشش و محل خراش در فصل مشترک پوشش/فلز پخش شده و منجر به آسیب به پیوندهای چسبندگی پوشش و لایه‌ای شدن پوشش می‌شود.

۳-۵-۳- آزمون امپدانس

۳-۵-۴- مطالعه زیرالایه بدون پوشش

عملکرد مقاومتی نمونه‌های فولادی غوطه‌ور در محلول کلرید حاوی رنگدانه هیبریدی با آنالیز EIS ارزیابی شد. شکل (۷)، نمودارهای بُد و نایکوئیست از سطوح غوطه‌ور در محلول‌های آب‌نمک در حضور و عدم حضور رنگدانه را نشان می‌دهد. همان‌طور که در طیف نایکوئیست مشخص شده است، داده‌های امپدانس با استفاده از مدارهای معادل الکتریکی^{۱۸} مختلف برآش شدند. در EEC مربوطه، R_f , R_{ct} و R_s به ترتیب مقاومت در برابر انتقال بار، مقاومت فیلم و مقاومت محلول هستند. از آنجایی که لایه‌های ساخته شده سطحی متخلخل بودند، از عنصر فاز ثابت^{۱۹} (CPE) به عنوان خازن ایده‌آل استفاده شد. پارامترهای امپدانس در جدول (۱) گزارش شده است. در این جدول Y_0 و n ادمیتانس^{۲۰} و اکسپونانت^{۲۱} هستند که اجزای تشکیل‌دهنده CPE هستند. زاویه تماس استاتیک گرفته شده از سطح نمونه خام (θ=۷۴°) پس از ۴۸ ساعت نشان می‌دهد که محصولات خوردگی تشکیل شده بر روی سطح نمونه خاصیت آب‌دوستی دارد.

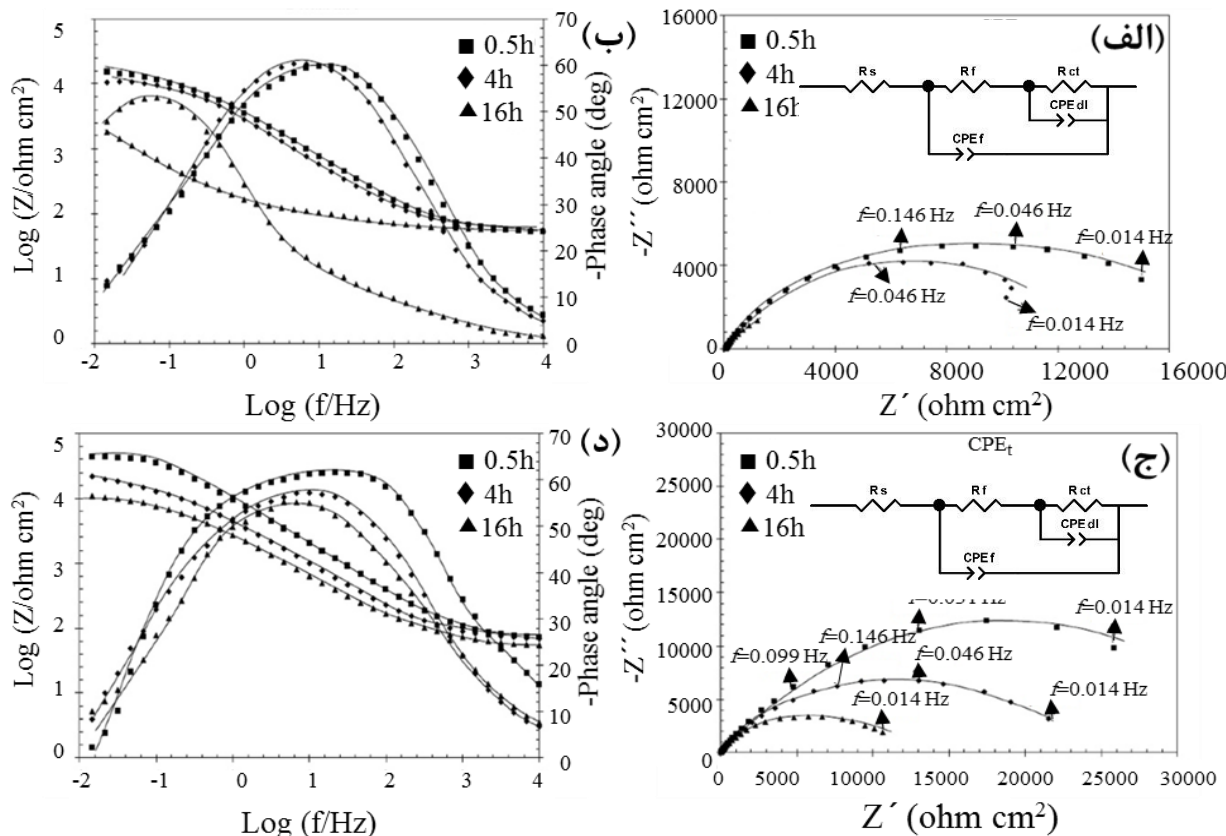
همان‌طور که در نتایج مشاهده می‌شود، در نمونه خام مقادیر R_{ct} تا ۶ ساعت زمان غوطه‌وری افزایش یافته و به حد اکثر رسیده و لایه اکسیدی ایجاد شده، در مقابل حمله اجزای خورنده محلول الکتروولیت مقاومت ایجاد کرده است، سپس تا ۴۸ ساعت کاهش یافته است. به نظر می‌رسد که خواص مقاومتی لایه متخلخل در اینجا شکست خورده است. سپس یک روند افزایشی تا زمان نهایی مشاهده شد که به نظر می‌رسد نتیجه ابیاشتگی محصولات خوردگی در سطح باشد. مقادیر در نوسان R_{ct} نشان از مقاومت ناپایدار در نمونه خام هستند. در نمودارهای فاز نمونه حاوی رنگدانه، شاهد یک ثابت زمانی دیگر در فرکانس‌های اولیه هستیم که مربوط به فیلم محافظت بر روی سطح است. در این نمونه از ابتدا شاهد افزایش مقادیر R_{ct} هستیم، به طوری که پس از ۷۲ ساعت مقدار این پارامتر به $110.24 \Omega \cdot \text{cm}^2$ رسید. مقادیر بازده بازدارندگی نشان می‌دهد که بیشینه بازده ۸۹٪ است که پس از ۴۸ ساعت غوطه‌وری به دست آمده است. زاویه تماس استاتیک گرفته شده از سطح نمونه دارای رنگدانه (θ=۹۶°) پس از ۴۸

ترکیبات کمپلکس‌های آلی-معدنی را روی سطح فولاد تشکیل می‌دهند. کاتیون‌های روی با یون‌های هیدروکسیل ایجاد شده در نقاط کاتدی تعامل دارند و فیلم نامحلول هیدروکسید روی (Zn²⁺ + 2OH⁻ → Zn(OH)₂) را تشکیل می‌دهند. از سوی دیگر، مولکول‌های آلی کمپلکس‌های نامحلولی بر پایه مولکول‌های آلی/Fe²⁺ و مولکول‌های آلی/Zn²⁺ تشکیل می‌دهند. با این حال، کاهش حلالیت رنگدانه در زمان غوطه‌وری طولانی‌تر منجر به کاهش سرعت رسوب فیلم و در نتیجه کاهش مقاومت در برابر خوردگی شده است [۴۱-۴۲].

در نمونه‌های حاوی رنگدانه هیبریدی اما دو ثابت زمانی مشاهده شد. مقادیر بالاتر R_{ct} و Z'' at 10 mHz می‌تواند به دلیل تشکیل فیلم بازدارنده بر روی سطح فلز در محل خراش باشد [۳۹-۴۰]. فیلم رسوب شده، نقاط آندی و/یا کاتدی را می‌پوشاند و دسترسی عوامل خورنده به سطح فلز را محدود می‌کند. رنگدانه هیبریدی افزوده شده به زمینه پوشش کمی محلول در آب است. گونه‌های بازدارنده مانند کاتیون‌های روی و مولکول‌های آلی، مانند رترونسین، اسید لاکتیک و اسید نیکوتینیک، می‌توانند توسط رنگدانه‌های هیبریدی در منطقه خراش آزاد شوند. این

جدول (۲): پارامترهای امپدانس الکتروشیمیایی استخراج شده از نمونه‌های اپوکسی استر خراش دار غوطه‌ور در محلول ۳/۵ wt.% NaCl برای زمان‌های مختلف.
مقادیر میانگین سه تکرار هستند و (\pm) با انحرافات استاندارد مطابقت دارد.

نمونه	زمان غوطه‌وری (ساعت)	R_s (Ω cm ²)	R_{ct} (Ω cm ²)	CPE _{dl}		R_c (Ω cm ²)	CPE _c	
				Y_0 (μΩ ⁻¹ cm ² s ⁿ)	n		Y_0 (μΩ ⁻¹ cm ² s ⁿ)	n
بدون رنگدانه	۰/۵	$10 \pm 4\%$	$15241 \pm 5\%$	$58 \pm 12\%$	$0/70 \pm 1\%$	$1102 \pm 11\%$	$190 \pm 4\%$	$0/70 \pm 2\%$
	۴	$9 \pm 7\%$	$11235 \pm 8\%$	$65 \pm 7\%$	$0/76 \pm 3\%$	$910 \pm 8\%$	$201 \pm 10\%$	$0/74 \pm 6\%$
	۱۶	$8 \pm 9\%$	$3789 \pm 7\%$	$78 \pm 3\%$	$0/79 \pm 2\%$	$910 \pm 5\%$	$230 \pm 6\%$	$0/8 \pm 5\%$
حاوی رنگدانه	۰/۵	$17 \pm 2\%$	$28563 \pm 9\%$	$41 \pm 8\%$	$0/87 \pm 4\%$	$3511 \pm 6\%$	$131 \pm 11\%$	$0/82 \pm 3\%$
	۴	$10 \pm 3\%$	$2258 \pm 10\%$	$45 \pm 7\%$	$0/89 \pm 5\%$	$2352 \pm 8\%$	$168 \pm 9\%$	$0/82 \pm 7\%$
	۱۶	$12 \pm 7\%$	$11902 \pm 4\%$	$50 \pm 2\%$	$0/89 \pm 2\%$	$102 \pm 5\%$	$192 \pm 2\%$	$0/81 \pm 8\%$



شکل (۸): نمودارهای بد و نایکوئیست پوشش‌های اپوکسی استر خراشیده بدون رنگدانه (الف و ب) و با رنگدانه (ج و د) غوطه‌ور در محلول ۳/۵ wt.% NaCl در زمان‌های مختلف. خطوط و نقاط به ترتیب نشانگر داده‌های برآورد یافته و تجربی هستند.

نشان دهنده انتشار کمتر الکتروولیت خورنده در سطح مشترک پوشش/فلز است. علاوه بر این، مقادیر فرکانس نقطه شکست (f_b) نمونه حاوی رنگدانه کمتر از اپوکسی بدون رنگدانه است. یک همبستگی مستقیم بین افزایش f_b و نرخ تاول زدن پوشش وجود دارد. تغییر f_b با افزایش زمان غوطه‌وری، افزایش نواسی جداسده را نشان می‌دهد. افزایش کمتر f_b برای نمونه اپوکسی حاوی رنگدانه نسبت به نمونه دیگری، بهوضوح جدایش کمتر پوشش را نشان می‌دهد. درواقع، رسوب رنگدانه بر روی سطح فولاد می‌تواند به طور فراوانی نرخ جدایش پوشش اپوکسی را کاهش دهد. دو ثابت زمانی در نمودارهای بد نمونه بدون رنگدانه در تمام زمان‌های نشان می‌دهد که الکتروولیت به سطح مشترک اپوکسی/فولاد رسیده و منجر به تاول زنی قابل توجه پوشش و ایجاد محصولات خوردگی در زیر پوشش شده است. با این تفاوت که این نفوذ در پوشش حاوی رنگدانه منجر به تشکیل لایه محافظ در فصل مشترک فلز/پلیمر شده است. همه این مشاهدات نشان می‌دهد که رنگدانه هیبریدی نه تنها عملکرد بازدارندگی را ایجاد می‌کند، بلکه از طریق کاهش تخلخل و حجم آزاد و افزایش طول مسیر انتشار، خواص سدی پوشش را افزایش می‌دهد. ممانعت کننده‌های آلی با کاتیون‌های روی شلاته می‌شوند که این امر عملکرد سدی بازدارندگی پوشش اپوکسی استر را به طور هم‌زمان افزایش می‌دهند. رنگدانه ترکیبات بازدارنده را در فصل مشترک پوشش/فلز آزاد می‌کند و به‌این ترتیب از واکنش‌های آندی و کاتدی ممانعت به عمل می‌آورد [۴۳-۴۶].

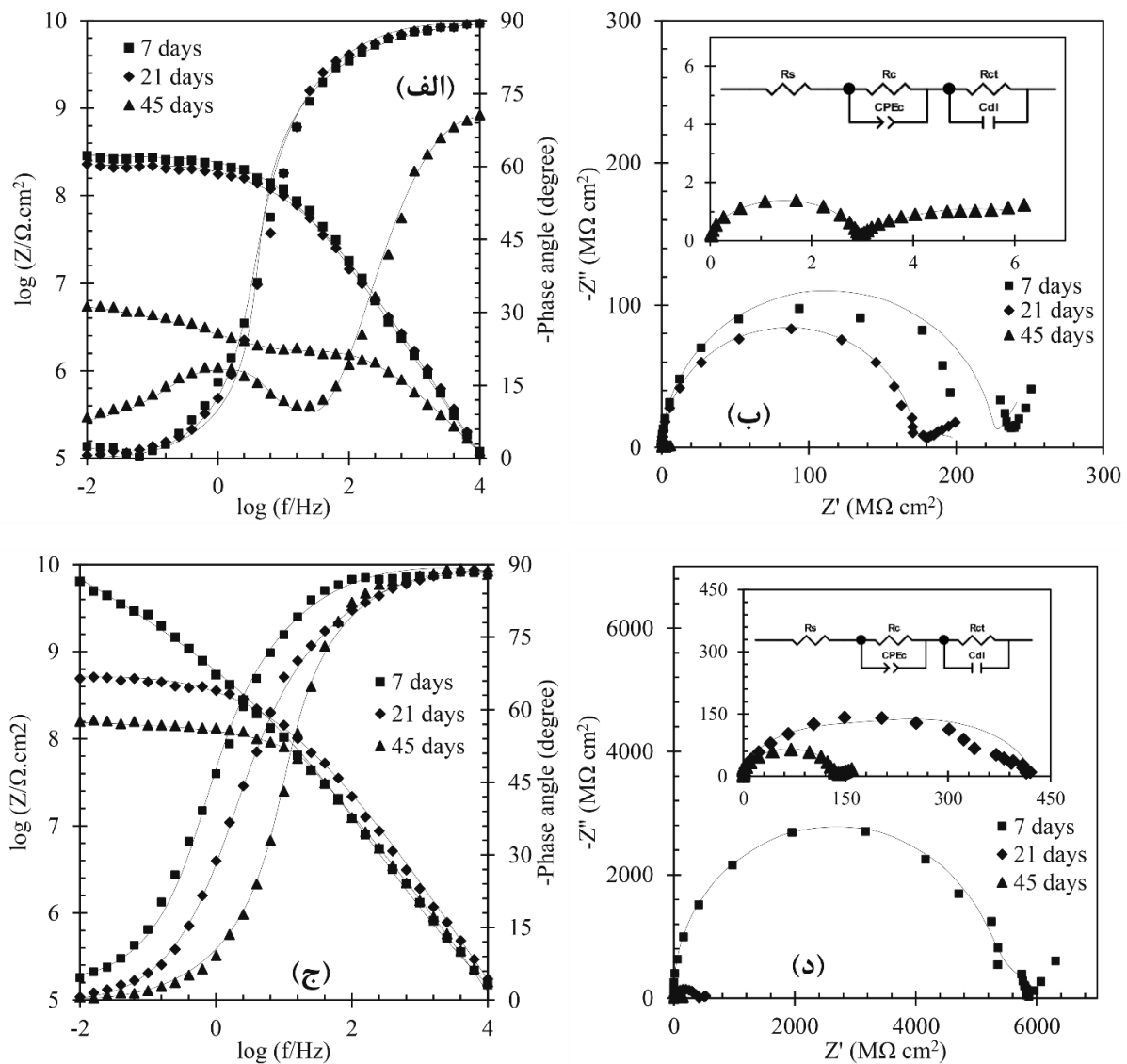
۳-۵-۳- مطالعه پوشش بدون خراش

تأثیر افزودن رنگدانه به پوشش اپوکسی استر بر عملکرد محافظت در برابر خوردگی با آنالیز EIS ارزیابی شد. آزمایش بر روی نمونه‌های پوشش دهی شده در حضور غیاب رنگدانه هیبریدی پس از غوطه‌وری ۲۱ و ۴۵ روزه در محلول‌های ۳/۵ wt.% NaCl انجام شد. اگر پوشش بدون عیب باشد فقط باید رفتار خازنی نشان دهد. با توجه به اینکه هیچ پوششی بدون عیب نیست و خود پوشش آلی است و خوردگی الکتروشیمیایی ندارد پس قطعاً شاهد خوردگی زیرلایه هستیم. خوردگی زیرلایه بدون نفوذ محلول به زیرلایه امکان‌پذیر نیست. وقتی نفوذ داریم باید ثابت زمانی مربوط به نفوذ را داشته باشیم. از این رو از نتایج می‌توان مشاهده کرد که پوشش اپوکسی حاوی رنگدانه دو ثابت زمانی را در تمام زمان‌های غوطه‌وری نشان می‌دهد.

از این مشاهدات می‌توان فهمید که در مورد پوشش حاوی رنگدانه، انتشار الکتروولیت در سطح مشترک پوشش/فلز به طور قابل توجهی عملکرد محافظت از پوشش را کاهش نداد. نمودارهای بد این نمونه‌ها و پارامترهای استخراج شده در شکل (۹) و جدول (۳) آورده شده است. در این جدول R_t مقاومت کل $(R_t = R_c + R_{ct})$ است. از نتایج می‌توان دریافت که مقادیر امپدانس $|Z|_{10mHz}$ و R_t پوشش اپوکسی حاوی رنگدانه بسیار بیشتر از نمونه اپوکسی بدون رنگدانه در تمام زمان‌های غوطه‌وری است. با سپری شدن زمان غوطه‌وری، مقادیر $|Z|_{at10mHz}$ و R_t برای هر دو نمونه کاهش می‌یابد، اما این کاهش برای نمونه اپوکسی بدون رنگدانه بارزتر است. مقادیر زاویه فاز نزدیک به -90° بدست‌آمده برای نمونه حاوی رنگدانه،

جدول (۳): پارامترهای امپدانس الکتروشیمیایی استخراج شده از پوشش اپوکسی استر در حضور و غیاب رنگدانه هیبریدی غوطه‌ور در محلول ۳/۵ wt.% NaCl برای زمان‌های مختلف.

نمونه	زمان غوطه‌وری (ساعت)	R_{ct} ($M\Omega \text{ cm}^2$)	CPE _{dl}		R_c ($M\Omega \text{ cm}^2$)	CPE _c		R_t ($M\Omega \text{ cm}^2$)
			Y_0 ($\mu\Omega^{-1} \text{ cm}^{2}s^n$)	n		Y_0 ($\mu\Omega^{-1} \text{ cm}^{2}s^n$)	n	
رنگدانه	۰/۵	$222 \pm 12\%$	$135 \pm 7\%$	$0/98 \pm 2\%$	$122 \pm 10\%$	$116400 \pm 5\%$	$0/72 \pm 5\%$	۳۴۴
	۴	$171 \pm 8\%$	$38 \pm 5\%$	$0/98 \pm 1\%$	$53 \pm 11\%$	$87898 \pm 3\%$	$0/61 \pm 6\%$	۲۲۴
	۱۶	$2/65 \pm 9\%$	$0/78 \pm 10\%$	$0/54 \pm 3\%$	$1/56 \pm 8\%$	$0/00020 \pm 10\%$	$0/97 \pm 6\%$	۴/۲
حاوی رنگدانه	۰/۵	$5161 \pm 2\%$	$2/10 \pm 8\%$	$0/99 \pm 7\%$	$890 \pm 4\%$	$522 \pm 2\%$	$0/68 \pm 3\%$	۶۰۵
	۴	$264 \pm 9\%$	$299 \pm 3\%$	$0/9 \pm 7\%$	$109 \pm 9\%$	$55 \pm 10\%$	$0/97 \pm 7\%$	۴۲۳
	۱۶	$132 \pm 10\%$	$46 \pm 2\%$	$0/99 \pm 1\%$	$68 \pm 2\%$	$98507 \pm 4\%$	$0/56 \pm 1\%$	۲۰۰



شکل (۹): نمودارهای بد پوشش‌های اپوکسی استر (1 cm^2) (الف) بدون و (ب) با رنگدانه هیبریدی غوطه‌ور در محلول $3/5 \text{ wt.\% NaCl}$ در زمان‌های مختلف. خطوط و نقاط به ترتیب نشانگر داده‌های برآش زیسته و تجربی هستند.

محلول را از رنگدانه به الکتروولیت آزاد می‌کنند. این گونه‌ها با تسهیل رشد لایه‌های سطحی محافظت، خوردگی را در فرآیندی به نام روینگی مهار می‌کنند. هنگامی که فلزات واکنش‌پذیری شیمیایی را از دست می‌دهند، روین نامیده می‌شود. فلزات به دلیل تشکیل لایه‌های اکسیدی نازک و محکم چسبیده، خنثی می‌شوند و نجیب‌تر عمل می‌کنند. با نفوذ الکتروولیت خورنده به سطح مشترک فلز/پلیمر، واکنش‌های آندی و کاتدی معمولی روی سطح فلز انجام می‌شود. یون‌های هیدروکسیل ایجاد شده در نتیجه واکنش‌های کاتدی می‌توانند پیوندهای چسبندگی پوشش

۳-۴-۵-۳- مکانیسم عملکرد بازدارندگی رنگدانه
 پوشش‌های بازدارنده معمولاً در پرایمر یا اولین پوشش یک سیستم پوشش قرار می‌گیرند که در آن با زیرلايه تماس دارند تا مؤثر باشند. به طور کلی، پوشش‌های بازدارنده سرعت یک واکنش الکتروشیمیایی را که با استفاده از رنگدانه باعث خوردگی می‌شود، کاهش می‌دهد. عوامل مختلف فیزیکی و شیمیایی رنگدانه‌های بازدارنده، سرعت یک واکنش الکتروشیمیایی را با توقف یا پلاریزه کردن آن محدود می‌کند. پوشش‌هایی که از رنگدانه‌های بازدارنده استفاده می‌کنند، پس از اشباع شدن پوشش، گونه‌های

کاهش سرعت واکنش خوردگی و جدا شدن پوشش از زیرلایه می‌شود.

- نشان داده شد که نه تنها عمل بازدارندگی بلکه خواص سدی پوشش اپوکسی استر را می‌توان در حضور رنگدانه هیریدی به میزان قابل توجهی بهبود بخشید.

۵- مراجع

- [1] C. Yu, M.S. De Luna, A. Marotta, C. Ponti, I. Esposito, F. Scherillo, Z. Wang, X. Zhang, H. Xia & M. Lavorgna, "NIR light-triggered self-healing waterborne polyurethane coatings with polydopamine-coated reduced graphene oxide nanoparticles", *Progress in Organic Coatings*, vol. 161, pp. 10649, 2021.
- [2] Y. Ma, H. Huang, H. Zhou, M. Graham, J. Smith, X. Sheng, Y. Chen, L. Zhang, X. Zhang, E. Shchukina & D. Shchukin, "Superior anti-corrosion and self-healing bi-functional polymer composite coatings with polydopamine modified mesoporous silica/graphene oxide", *Journal of Materials Science & Technology*, vol. 95, pp. 95-104, 2021.
- [3] K. Cao, Z. Yu, D. Yin, L. Chen, Y. Jiang & L. Zhu, "Fabrication of BTA-MOF-TEOS-GO nanocomposite to endow coating systems with active inhibition and durable anticorrosion performances", *Progress in Organic Coatings*, vol. 143, pp. 105629, 2020.
- [4] D. Yin, Z. Yu, L. Chen & K. Cao, "Enhancement of the anti-corrosion performance of composite epoxy coatings in presence of BTA-loaded copper-based metal-organic frameworks", *International Journal of Electrochemical Science*, vol. 14, pp. 4240-4253, 2019.
- [5] H. Yan, W. Li, H. Li, X. Fan & M. Zhu, "Ti₃C₂ MXene nanosheets toward high-performance corrosion inhibitor for epoxy coating", *Progress in Organic Coatings*, vol. 135, pp.156-167, 2019.

[۶] م. بقال زاده، خ. قیصری و ح. معتمدی، "اثر محافظتی بیوفیلم حاصل از فعالیت باکتری بی‌هوایی احیاکننده سولفات بر مقاومت به خوردگی فولاد میکروآلیاژ API X42"، فرآیندهای نوین در مهندسی مواد، دوره ۹، شماره ۴، صفحه ۵۱-۶۳، ۱۴۰۰.

- [7] H. Wang, S. L. Huang, Y. J. Zuo, T. Zhou & L. R. Zhang, "Corrosion resistance of lamellar aluminium pigments coated by SiO₂ by sol-gel

آلی را از طریق مکانیسم‌های مختلف خراب کنند. در حضور رنگدانه‌ها، یک لایه محافظ در فصل مشترک فلز/پلیمر تشکیل می‌شود که مانع از دسترسی بیشتر گونه‌های خورنده موجود در محلول نمکی به زیرلایه فلزی شده و در نتیجه یون‌های هیدروکسیل تولید می‌شود. از سوی دیگر، هنگامی که الکتروولیت به سطح مشترک فلز می‌رسد، یون‌های هیدروکسیل تولید شده به سرعت توسط کاتیون‌های روی آزادشده موجود در ساختار نمونه رنگدانه شده مصرف می‌شود تا لایه محافظ هیدروکسید روی تشکیل شود. دلیل دیگر برای محافظت ضعیف مشاهده شده در نمونه خام انتشار گونه‌های خورنده از ریز منافذ پوشش اپوکسی به سمت فصل مشترک فلز/پلیمر است. افزودن رنگدانه باعث پر شدن این مسیرها می‌شود؛ بنابراین در نمونه‌های رنگدانه شده، هم حفاظت فعال و هم محافظت سدی دیده می‌شود. تشکیل Zn(OH)₂ در مکان‌های کاتدی علاوه بر جذب مولکولی ترکیبات آلی آزادشده از ذرات رنگدانه بر روی نواحی آندی و ساخت کمپلکس‌های EAE-Zn-AA-Fe عواملی هستند که نقش مهمی در حفاظت برتر از نمونه رنگدانه دار دارند. جفت الکترون تنها ساختار آلی با اوربیتال‌های خالی فلزی (روی) به اشتراک گذاشته می‌شوند و کمپلکس‌های آلی معدنی تشکیل می‌شوند که از تئوری Donor-acceptor پیروی می‌کنند.

۶- نتیجه‌گیری

- رنگدانه هیریدی سبز آلی/معدنی از طریق اتصال ممانعت‌کننده‌های سبز استخراج شده از گیاه گل گاو زبان با استات روسی به دست آمد.
- افزودن رنگدانه هیریدی به پوشش اپوکسی استر هنگامی که یک خراش مصنوعی در پوشش وجود داشت، خاصیت بازدارندگی فعال را ایجاد می‌کرد. رنگدانه بارگذاری شده در پوشش، گونه‌های آلی و معدنی بازدارنده را آزاد می‌کند که در داخل خراش و زیر پوشش، لایه محافظی ایجاد می‌کنند و باعث

field environment", Materials and Corrosion, vol. 71, pp. 155-165, 2020.

[17] M.A Faiz, C.C. Azurahanim, S. Raba'ah & M. Ruzniza, "Low cost and green approach in the reduction of graphene oxide (GO) using palm oil leaves extract for potential in industrial applications", Results in Physics, vol. 16, pp. 102954, 2020.

[18] F. C. Mascarenhas, N. Sykam, M. Selvakumar & M. G. Mahesha, "Green reduction of graphene oxide using Indian gooseberry (amla) extract for gas sensing applications", Journal of Environmental Chemical Engineering, vol. 8, no. 2, pp. 103712, 2020.

[19] A. Abraham Daniel, P. Jeya, D. Ramaraj, N. Bernaurdshaw & V. Vairathevar Sivasamy, "Effect of components of solanum trilobatum-L extract as corrosion inhibitor for mild steel in acid and neutral medium", Materials Research Express, vol. 6, no. 3, pp. 036527, 2019.

[20] A. Amirudin, C. Barreau, R. Hellouin & D. Thierry, "Evaluation of anti-corrosive pigments by pigment extract studies, atmospheric exposure and electrochemical impedance spectroscopy", Progress in Organic Coatings, vol. 25, pp. 339-355, 1995

[21] س. جهادی و م. نصر اصفهانی، "بازدارندگی خوردگی پلی اتیلن گلایکل روی خوردگی فولاد ساده کربنی در محیط اسید-سولفوریک و هم نیتروزایی آن با شیفت باز"، فرآیندهای نوین در مهندسی مواد، دوره ۱۲، شماره ۲، صفحه ۱۱۷-۱۰۱، ۱۳۹۷.

[22] S. H. Alrefae, K. Y. Rhee, C. Verma, M. Quraishi & E. E. Ebenso, "Challenges and advantages of using plant extract as inhibitors in modern corrosion inhibition systems: Recent advancements", Journal of Molecular Liquids, vol. 321, pp. 114666, 2021.

[23] B. Müller, "Citric acid as corrosion inhibitor for aluminium pigment", Corrosion science, vol. 46, pp. 159-167, 2004.

[24] B. Müller, W. Kläger & G. Kubitzki, "Metal chelates of citric acid as corrosion inhibitors for zinc pigment", Corrosion science, vol. 39, pp. 1481-1485, 1997.

[25] M. Sayyah, H. Boostani, S. Pakseresht & A. Malaieri, "Efficacy of aqueous extract of Echium amoenum in treatment of obsessive-compulsive disorder", Progress in Neuro-Psychopharmacology

method", Corrosion Science, vol. 53, no. 1, pp.161-167, 2011.

[8] H. Bi & J. Sykes, "Cathodic disbonding of an unpigmented epoxy coating on mild steel under semi-and full-immersion conditions", Corrosion Science, vol. 53, no. 10, pp. 3416-3425, 2011.

[۹] م. بزرگ، ت. شهرابی فراهانی و ف. اکتفا، "استفاده از عصاره گیاه میرتكس به عنوان بازدارنده خوردگی فولاد در محلول اسید کلریدریک". فرآیندهای نوین در مهندسی مواد، دوره ۱۱، شماره ۴، صفحه ۱۱۹-۱۰۹، ۱۳۹۶.

[10] M. Hernandez, F. Galliano & D. Landolt, "Mechanism of cathodic delamination control of zinc-aluminum phosphate pigment in waterborne coatings", Corrosion Science, vol. 46, no. 9, pp. 2281-2300, 2004.

[11] M. Gimeno, S. Chamorro, R. March, E. Oró, P. Pérez, J. Gracenea & J. Suay, "Anticorrosive properties enhancement by means of phosphate pigments in an epoxy 2k coating". Assessment by NSS and ACET, Progress in Organic Coatings, vol. 77, pp. 2024-2030, 2014.

[12] M. Hernandez, J. Genesca, J. Uruchurtu, F. Galliano & D. Landolt, "Effect of an inhibitive pigment zinc-aluminum-phosphate (ZAP) on the corrosion mechanisms of steel in waterborne coatings", Progress in Organic Coatings., vol. 56, no. 2, pp. 199-206, 2006.

[13] M. Miao, X.-Y. Yuan, X.-G. Wang, Y. Lu & J. K. Liu, "One step self-heating synthesis and their excellent anticorrosion performance of zinc phosphate/benzotriazole composite pigments", Dyes and Pigments, vol. 141, pp. 74-82, 2017.

[14] J. Cheng, M. Xu, P. Cheng, W. Zhang, N. Li, Y. Wang, J. Yang, K. Liang, P. Li, H. Yu & X. Qiu, "Metal ions 'sewing' isoporous membranes with polystyrene-block-poly (acrylic acid) block copolymer", Journal of Membrane Science, vol. 587, pp. 117086, 2019

[15] T. C. Chou, "The combination index (CI < 1) as the definition of synergism and of synergy claims", Synergy, vol. 7, pp. 49-50, 2018.

[16] K. R. Bacca, N. F. Lopes, J. B. Marcolino, F. Dos Santos Grasel & E. M. Da Costa, "Performance of Quebracho extract as eco-friendly corrosion inhibitor for SAE 1010 steel in the oil

- [34] G. Kim, J. Lee, T. Liu & C. P. Grey, "Characterizing Nitrogen Sites in Nitrogen-Doped Reduced Graphene Oxide: A Combined Solid-State ^{15}N NMR, XPS, and DFT Approach", *The Journal of Physical Chemistry C*, vol. 125, pp. 10558-10564, 2021.
- [35] R. Al-Gaashani, A. Najjar, Y. Zakaria, S. Mansour & M. Atieh, "XPS and structural studies of high quality graphene oxide and reduced graphene oxide prepared by different chemical oxidation methods", *Ceramics International*, vol. 45, pp. 14439-14448, 2019.
- [36] M. P. Casaletto, V. Figà, A. Privitera, M. Bruno, A. Napolitano & S. Piacente, "Inhibition of Cor-Ten steel corrosion by "green" extracts of *Brassica campestris*", *Corrosion Science*, vol. 136, pp. 91-105, 2018.
- [37] F. Priante, M. Salim, L. Ottaviano & F. Perrozzi, "XPS study of graphene oxide reduction induced by (100) and (111)-oriented Si substrates", *Nanotechnology*, vol. 29, pp. 075704, 2018.
- [38] B. Li, X. Jin, J. Lin & Z. Chen, "Green reduction of graphene oxide by sugarcane bagasse extract and its application for the removal of cadmium in aqueous solution", *Journal of Cleaner Production*, vol. 189, pp. 128-134, 2018.
- [۳۹] ا. دانایی، ع. حسین زاده و م. مدادی، "بررسی اثرات بازدارندگی خودگی دو مشتق تیازولی بر آلیاژ فولاد در اسید کلریدریک"، فرآیندهای نوین در مهندسی مواد، دوره ۱۰، شماره ۴، صفحه ۲۴-۳۴، ۱۳۹۷.
- [۴۰] آ. فتاح الحسینی و ص. مؤمنی، "تأثیر بازدارنده‌ای بر پایه ایمیدازولین بر خودگی فولاد API 5L Gr.B در آب دریای ساختگی"، فرآیندهای نوین در مهندسی مواد، دوره ۹، شماره ۱، صفحه ۳۶، ۱۳۹۴، ۲۹-۳۶.
- [41] Y. Shao, C. Jia, G. Meng, T. Zhang & F. Wang, "The role of a zinc phosphate pigment in the corrosion of scratched epoxy-coated steel", *Corrosion Science*, vol. 51, no. 2, pp. 371-379, 2009.
- [42] J. Lange, A. Luisier & A. Hult, "Influence of crosslink density, glass transition temperature and addition of pigment and wax on the scratch resistance of an epoxy coating", *Journal of Coatings Technology*, vol. 69, pp. 77-82, 1997.
- [43] M. Jouyandeh, F. Tikhani, M. Shabanian, F. Movahedi, S. Moghari, V. Akbari, X. Gabrion, P. Laheurte, H. Vahabi & M. R. Saeb, "Synthesis, and *Biological Psychiatry*, vol. 33, pp. 1513-1516, 2009.
- [26] M. Sayyah, M. Sayyah & M. Kamalinejad, "A preliminary randomized double blind clinical trial on the efficacy of aqueous extract of *Echium amoenum* in the treatment of mild to moderate major depression", *Progress in Neuro-Psychopharmacology and Biological Psychiatry*, vol. 30, pp. 166-169, 2006.
- [27] M. Mehrabani, N. Ghassemi, E. S. A. Ghannadi & M. Shams-Ardakani, "Main phenolic compound of petals of *Echium amoenum* Fisch. and CA Mey., a famous medicinal plant of Iran", *DARU Journal of Pharmaceutical Sciences*, vol. 13, pp. 65-69, 2005.
- [28] M. Rabbani, S. Sajjadi, G. Vaseghi & A. Jafarian, "Anxiolytic effects of *Echium amoenum* on the elevated plus-maze model of anxiety in mice", *Fitoterapia*, vol. 75, pp. 457-464, 2004.
- [29] M. Tabatabaei majd, G. Bahlakeh, A. Dehghani, B. Ramezanzadeh & M. Ramezanzadeh, "A green complex film based on the extract of Persian *Echium amoenum* and zinc nitrate for mild steel protection in saline solution ;Electrochemical and surface explorations besides dynamic simulation", *Journal of Molecular Liquids*, vol. 291, pp. 111281, 2019.
- [30] G. Blustein, R. Romagnoli, J. Jaén, A. Di Sarli & B. Del Amo, "Zinc basic benzoate as eco-friendly steel corrosion inhibitor pigment for anticorrosive epoxy-coatings", *Colloids and Surfaces A: Physicochemical and Engineering Aspects*, vol. 290, 7-18, 2006.
- [31] M. Maria, W. Ikhmal, M. Amirah, S. Manja, S. Syaizwadi, K. Chan, M. Sabri & A. Adnan, "Green approach in anti-corrosion coating by using *Andrographis paniculata* leaves extract as additives of stainless steel 316L in seawater", *International Journal of Corrosion and Scale Inhibition*, vol. 8, pp.644-658, 2019.
- [32] J. O. Nilsson, C. Törnkvist & B. Liedberg, "Photoelectron and infrared reflection absorption spectroscopy of benzotriazole adsorbed on copper and cuprous oxide surfaces", *Applied Surface Science*, vol. 37, pp. 306-326, 1989.
- [33] G. W. Poling, "Reflection infra-red studies of films formed by benzotriazole on Cu", *Corrosion Science*, vol. 10, pp. 359-370, 1970.

characterization, and high potential of 3D metal-organic framework (MOF) nanoparticles for curing with epoxy", Journal of Alloys and Compounds, vol. 829, pp. 154547, 2020.

۶- پی‌نوشت

- [1] Filler
- [2] Miao et al
- [3] Urtica Dioica
- [4] Echium amoenum
- [5] Boraginaceae
- [6] Phenolic
- [7] Pyrrolizidine Alkaloids (PAs)
- [8] Tannin
- [9] Anthocyanidin
- [10] Flavonoids
- [11] Ascorbic Acid
- [12] Retroncine
- [13] Lactic Acid
- [14] Rosmarinic Acid
- [15] Nicotinic Acid
- [16] Carotene
- [17] Xylene
- [18] Equivalent Electrical Circuits
- [19] Constant Phase Element
- [20] Admittance
- [21] Exponent
- [44] M. Golabadi, M. Aliofkhazraei, M. Toorani & A. S. Rouhaghdam, "Evaluation of La containing PEO pretreatment on protective performance of epoxy coating on magnesium", Progress in Organic Coatings, vol. 105, pp. 258-266, 2017.
- [45] X. Yuan, Z. F. Yue, X. Chen, S. F. Wen, L. Li & T. Feng, "The protective and adhesion properties of silicone-epoxy hybrid coatings on 2024 Al-alloy with a silane film as pretreatment", Corrosion Science, vol. 104, pp. 84-97, 2016.
- [46] L. S. Živković, J. B. Bajat, J. P. Popić, B. V. Jegdić, S. Stevanović & V. B. Mišković-Stanković, "Protective properties of cataphoretic epoxy coating on aluminium alloy AA6060 modified with electrodeposited Ce-based coatings: Effect of post-treatment", Progress in Organic Coatings, vol. 79, pp. 43-52, 2015.